



DESCRIÇÃO DE VARIAÇÕES ANATÔMICAS MACROSCÓPICAS E MICROSCÓPICAS DO RAMO ZIGOMÁTICO DO NERVO FACIAL DE CADÁVERES DO LABORATÓRIO DE ANATOMIA HUMANA DA UFRGS

Schneider, J.C.¹ (IC); Malysz, T. (O)²

¹Graduando em Biomedicina, UFRGS; ²Departamento de Ciências Morfológicas, UFRGS

Introdução

Um dos ramos mais utilizados para intervenções cirúrgicas relacionadas à paralisia facial é o Ramo Zigomático do Nervo Facial, por este estar envolvido com o músculos do sorriso. Assim sendo, a localização deste ramo através de pontos de referência cutâneos e o conhecimento sobre a sua estrutura e variabilidades anatômicas da sua distribuição são muito importantes para nortear as intervenções cirúrgicas (Chatellier et al., 2018).

Metodologia

Foram utilizados oito cadáveres humanos adultos (16 hemifaces) dos sexos masculino e feminino do acervo do Laboratório de Anatomia Humana do Instituto de Ciências Básicas da Saúde da UFRGS.

O nervo facial dissecado foi fotografado e o número de ramos terminais contabilizados e a distância do local de origem do ramo zigomático a partir do tronco temporofacial do nervo facial em relação às linhas de interesse (linha infra-orbitomeatal e linha pré-auricular) foram medidos através de paquímetro digital (Vonder® 150 mm). A linha infra-orbitomeatal corresponde a uma linha reta partindo do trago da orelha até a margem inferior do m. orbicular do olho e a linha pré-auricular é medida por uma linha reta que vai da inserção superior à inserção inferior da orelha (Torres et al, 2004).

O coto do nervo zigomático (aproximadamente 0,5 cm) foi coletado logo após sua emergência do tronco do nervo facial e fixado em resina Durcupan ACM. O material foi cortado em cortes semifinos (900 nm) através do ultramicrotomo (Leica Ultracut UCT2.0, Germany). As lâminas foram coradas com azul de toluidina (Merck, Germany). O material foi cortado em cortes semifinos (900 nm) através do ultramicrotomo (Leica Ultracut UCT2.0, Germany) e as lâminas foram coradas com azul de toluidina (Merck, Germany).

As imagens dos cortes transversais dos segmentos do nervo foram capturadas e digitalizadas com um microscópio Nikon Eclipse E-600 (Japan) acoplado a uma câmera de alta performance CCD (Zeiss imager M12). Para as avaliações foi utilizado o Software Zen Blue. Foi feita a contabilização do número de fascículos e mensuração da área total fascicular. Após identificação da normalidade dos dados, os mesmos foram analisados através do teste t de student ($P < 0,05$), comparando dados morfométricos microscópicos entre as hemifaces. Análise dos dados foi realizada através do software SPSS 22.0.

Resultados

Não houve diferença estatística entre as hemifaces direita e esquerda para o número de ramificações terminais, para a distância (mm) entre a origem do ramo zigomático do nervo facial até a linha infra-orbitomeatal, para a distância (mm) entre a origem do ramo zigomático do nervo facial até a linha pré-auricular e para a distância (mm) entre a origem do ramo zigomático do nervo facial até o trago.

A análise morfométrica microscópica mostrou que o ramo teve $3,42 \pm 1,9$ fascículos no lado direito e $3,85 \pm 1,9$ fascículos no lado esquerdo. A área fascicular total entre os lados não apresentou diferença significativa.

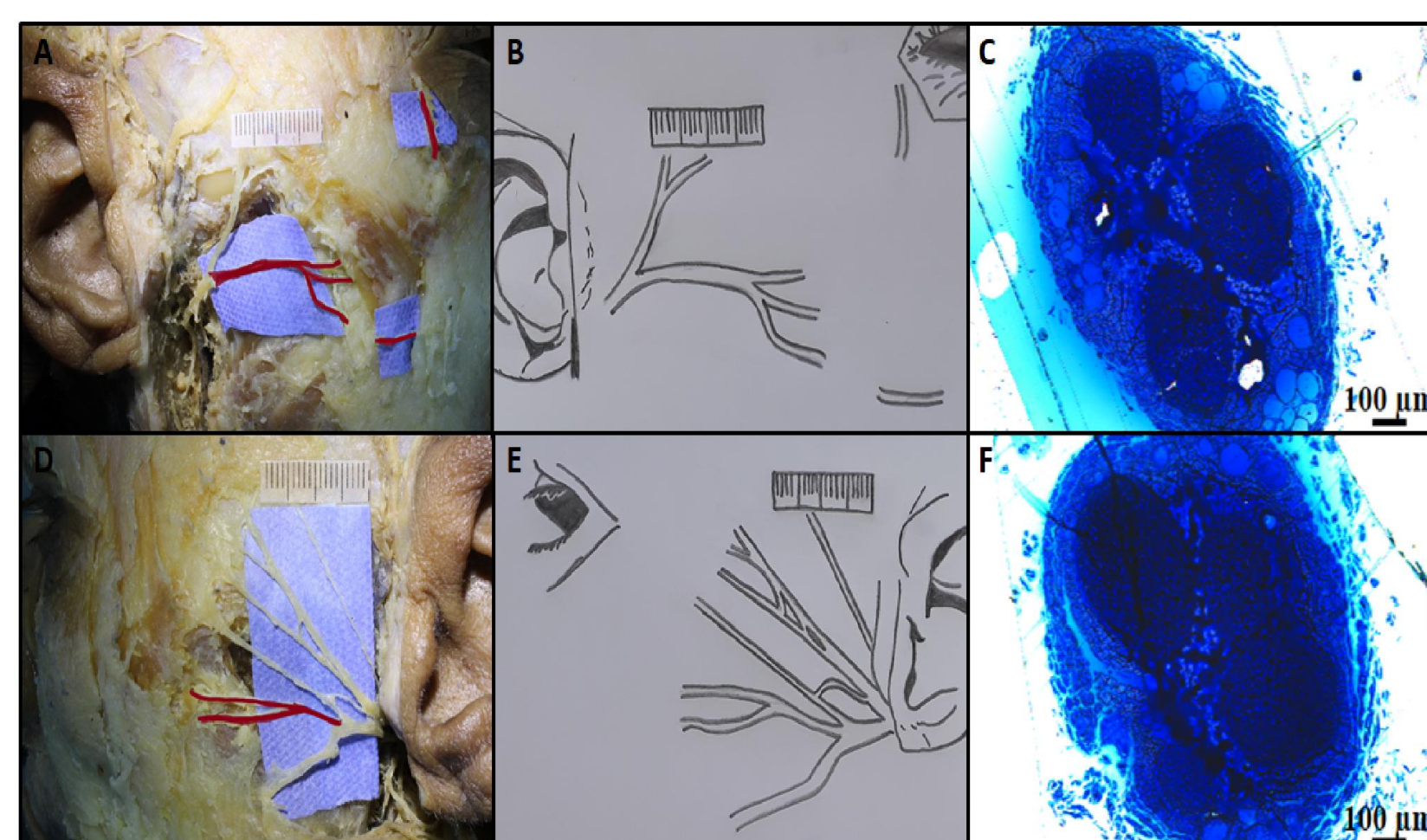


Figura 1. A. Fotografia de cadáver masculino com representação do trajeto do ramo zigomático (em vermelho) da hemiface direita; B. Ilustração de A; C. Fotomicrografia do coto do ramo zigomático da hemiface direita; D. Fotografia de cadáver masculino com representação do trajeto do ramo zigomático (em vermelho) da hemiface esquerda; E. Ilustração de D; F. Fotomicrografia do coto do ramo zigomático da hemiface esquerda.

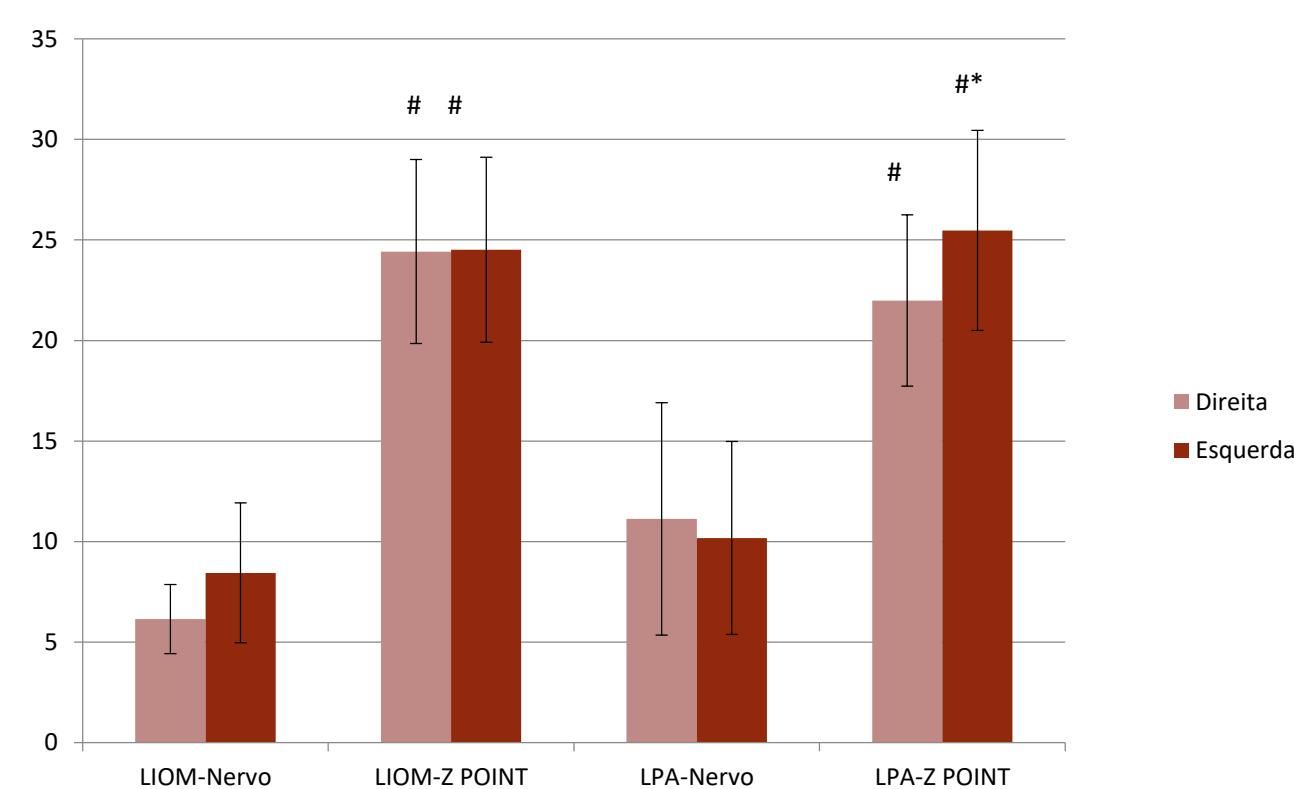


Figura 2. Gráfico representando os valores de média e desvio-padrão das distâncias bilaterais (mm) entre a linha infra-orbitomeatal e o ramo zigomático do nervo facial (LIOM-nervo), entre a linha infra-orbitomeatal e o Z.Point (LIOM-Z-point), entre a linha pré-auricular e o ramo zigomático do nervo facial (LPA-nervo), entre o entre a linha infra-orbitomeatal e o Z.Point (LPA-Z.Point) nas hemifaces do lado direito e esquerdo de cadáveres. # $p < 0,001$ vs valores ipsilaterais de LIOM-Nervo e LPA-Nervo.

Conclusão

A origem do ramo zigomático esteve localizada anterior à linha pré-auricular (cerca de 1 cm) e inferior à linha infra-orbitomeatal (cerca de 0,6 cm à direita e 0,8 cm à esquerda). Quanto ao número ramificações terminais, o número de fascículos e a área fascicular total do ramo zigomático do nervo facial, não foram apresentadas diferenças entre as hemifaces direita e esquerda.